

## BB PEGASI

ფოტოგრაფიული სიკაშაშის მიღები და ელემენტები

ს. ნიკოლოვი და პ. ფოდრონჩავიძი

(რეზერვი)

1934 წლის ზაფხულს მიღებული იყო BB Pegasi-ს 109 ფოტოგრაფიული გამონასახი. ამ ვარსკელავის, შესწავლის დროს პირველად იყო გამოყენებული ცვალებადის ინტრაფოკალური ფოტოგრაფია.

ცვალებადის სიკაშაშის განსაზღვრის მეთოდი მდგრადარეობდა სადარი ვარსკელავის სიდიდეთა და ვალვანომეტრის გადახრის ანათვლების მიხედვით დამახასიათებელი მრუდის ავებასა და, შემდეგ, ამ მრუდის გამოყენებით ცვალებადის სიდიდის ათვლაში. ამ მეთოდის მაგალითზე აშკარა გახდა ინტრაფოკალური ფოტოგრაფიულების უპირატესობა: მცირე ინტრაფოკალობის შემთხვევაში დამახასიათებელი მრუდი უფრო დაქანებული აღმოჩნდა.

სადარი ვარსკელავები მოყვანილია ცხრ. I-ში. ცვალებადის ფოტოგრაფიული სიკაშაშის გამოთვლილი მნიშვნელობანი მოყვანილია ცხრ. II-ში.

ცესევიჩის<sup>3</sup> ელემენტების საფუძველზე

$$\text{Min} = 2426559.240 + 0^d361498 \cdot E$$

მიღებული იქნა პერიოდის შესწორება:

$$\Delta P = 0^d0000012$$

და ამის მიხედვით, პერიოდის უფრო ზუსტი მნიშვნელობა:

$$P = 0^d3614992$$

გამოთვლილი პერიოდის საშუალებით მიღებული იქნა ნორმალური წერტილები (ცხრ. III) და სიკაშაშის საშუალო მრუდი (ნახ. 1).

ცალკეული წერტილების გადახრა საშუალო მრუდიდან  $0^m2.6$  არ იღება.

ნოემბერი, 1934.

## AP AURIGAE

## PHOTOGRAPHIC LIGHT—CURVE AND ELEMENTS

By V. B. NIKONOV and V. M. BODOKIA

The variability of AP Aurigae was discovered in 1921 by A. Stanley Williams when examining previously taken plates<sup>1</sup>. The star received its present designation in 1931<sup>2</sup>.

On the basis of visual observations during 1921—1925 and 1931, and with the aid of plates taken in 1901 and 1902, A. Stanley Williams computed the following elements for the star<sup>3</sup>:

$$\text{Min} = 2423080.520 + 0^d569287 \cdot E$$

In 1933 the following values for the normal epochs were given by Zesewitsch<sup>4</sup>:

$$\text{Min}_I = 2426771.228; \quad \text{Min}_{II} = 2426771.528.$$

At the Abastumani Observatory observations of AP Aurigae were conducted from November 2, 1934 to January 12, 1935. In all 117 images (24 plates) suitable for measurements were secured. Exposures of 15 and 20 minutes were made. Such long exposures were necessary owing to the orthochromatic effect of the Ilford Monarch plates employed (1934 series, emulsion 6428 A). To eliminate this effect a special filter supplied by the State Optical Institute, Leningrad, was used.

To determine the brightness of six comparison stars, two plates of AP Aurigae and KSA26 were taken at equal zenith distances. The plates were exposed 30 minutes each in the following order: AP Aurigae, KSA26, AP Aurigae.

The characteristic curve was drawn for each plate, from which the photographic brightness values of the comparison stars were determined. The mean of these curves was adopted as the final value.

The obtained photographic magnitudes of the comparison stars and their probable errors are listed in Table I.

TABLE I ГБ66020

|               |                       |               |                       |
|---------------|-----------------------|---------------|-----------------------|
| a) BD+36°1612 | $m = 10.02 \pm 0.014$ | d) BD+36°1618 | $m = 10.65 \pm 0.028$ |
| b) BD+36°1613 | $m = 10.74 \pm 0.010$ | e) BD+36°1617 | $m = 11.36 \pm 0.014$ |
| c) BD+36°1616 | $m = 10.21 \pm 0.052$ | f) BD+36°1615 | $m = 11.82 \pm 0.024$ |

Table II lists the photographic magnitudes found for the variable.

TABLE II ГБ66020

| J. D. $\odot$ | Ph. Mg.     | J. D. $\odot$ | Ph. Mg.     | J. D. $\odot$ | Ph. Mg.     |
|---------------|-------------|---------------|-------------|---------------|-------------|
| 2427744.429   | $m = 11.16$ | 2427759.347   | $m = 11.12$ | 2427784.373   | $m = 11.00$ |
| 451           | 11.33       | 366           | 11.19       | 443           | 10.78       |
| 2427747.331   | 11.16       | 380           | 10.81       | 2427786.400   | 10.84       |
| 347           | 10.88       | 396           | 10.96       | 414           | 10.86       |
| 361           | 10.99       | 418           | 11.03       | 429           | 11.06       |
| 377           | 10.95       | 429           | 10.86       | 447           | 10.77       |
| 393           | 10.98       | 441           | 10.74       | 498           | 10.82       |
| 2427748.357   | 10.96       | 495           | 10.89       | 514           | 11.01       |
| 371           | 11.01       | 514           | 11.32       | 530           | 10.90       |
| 386           | 11.03       | 525           | 11.44       | 2427787.331   | 11.26       |
| 462           | 11.07       | 539           | 11.48       | 342           | 10.90       |
| 2427749.433   | 11.00       | 549           | 11.30       | 356           | 11.15       |
| 450           | 10.90       | 2427760.427   | 11.10       | 368           | 10.90       |
| 470           | 11.06       | 438           | 11.22       | 379           | 11.16       |
| 486           | 10.97       | 460           | 11.10       | 391           | 11.40       |
| 504           | 11.19       | 480           | 10.90       | 412           | 11.32       |
| 520           | 11.31       | 490           | 11.03       | 423           | 11.34       |
| 2427751.292   | 11.38       | 503           | 10.96       | 435           | 11.34       |
| 308           | 11.28       | 514           | 11.05       | 446           | 11.24       |
| 326           | 11.29       | 537           | 10.90       | 458           | 11.46       |
| 340           | 11.31       | 548           | 11.02       | 476           | 11.06       |
| 358           | 11.08       | 564           | 10.90       | 2427814.253   | 10.73       |
| 372           | 10.94       | 575           | 10.92       | 268           | 11.06       |
| 414           | 10.74       | 596           | 11.02       | 284           | 10.78       |
| 425           | 11.03       | 607           | 10.90       | 299           | 11.05       |
| 436           | 10.76       | 621           | 11.44       | 360           | 11.06       |
| 459           | 10.76       | 632           | 11.44       | 370           | 10.93       |
| 471           | 11.00       | 2427775.257   | 11.02       | 384           | 11.05       |
| 483           | 10.70       | 268           | 11.15       | 397           | 11.35       |
| 2427752.365   | 11.00       | 280           | 11.10       | 2427815.302   | 10.94       |
| 380           | 11.13       | 320           | 10.90       | 313           | 11.34       |
| 395           | 11.04       | 399           | 10.90       | 324           | 11.37       |
| 414           | 11.11       | 2427784.237   | 11.23       | 338           | 11.49       |
| 429           | 11.16       | 249           | 10.97       | 349           | 11.42       |
| 446           | 11.28       | 262           | 11.34       | 360           | 11.38       |
| 463           | 11.23       | 271           | 11.35       | 386           | 11.10       |
| 2427755.485   | 11.14       | 309           | 11.12       | 404           | 10.87       |
| 2427758.296   | 10.94       | 320           | 11.17       | 416           | 10.86       |
| 310           | 10.86       | 343           | 10.82       | 436           | 10.90       |
| 2427759.333   | 11.03       |               |             |               |             |

The first column of this table contains the heliocentric Julian dates and the second—the photographic magnitudes of the variable.

As initial elements for determining the correction of the period, those by A. Stanley Williams were adopted. Using these elements, a light-curve was drawn, with the aid of which the following correction of the period was obtained:

$$\Delta P = 0.0000062$$

Thus the new elements are:

$$\text{Min} = 2423080.520 + 0.5692932 \cdot E$$

With the aid of these elements and taking into account the normal points (Table III) the final light-curve was drawn (Fig. 1).

TABLE III ГБ66020

| Phase | Ph. Mg.     | n | Phase | Ph. Mg.     | n | Phase | Ph. Mg.     | n |
|-------|-------------|---|-------|-------------|---|-------|-------------|---|
| p.026 | $m = 11.38$ | 6 | p.491 | $m = 11.21$ | 6 | p.767 | $m = 10.93$ | 6 |
| 112   | 10.95       | 6 | 540   | 11.18       | 6 | 813   | 10.93       | 6 |
| 173   | 10.92       | 6 | 574   | 11.12       | 6 | 847   | 10.92       | 6 |
| 284   | 10.96       | 6 | 615   | 11.06       | 6 | 884   | 11.11       | 5 |
| 350   | 11.06       | 6 | 644   | 11.01       | 6 | 934   | 11.22       | 6 |
| 388   | 11.09       | 6 | 684   | 10.99       | 5 | 982   | 11.39       | 6 |
| 424   | 11.13       | 6 | 726   | 10.90       | 5 |       |             |   |

The first column of Table III lists the phases computed by the formula

$$\text{Phase} = (J. D. \odot - 2423080.520) \cdot P^{-1}$$

$$\text{where } P^{-1} = 1.756565.$$

The second column gives the normal values of brightness and the third the number of observations joined at the given normal point.

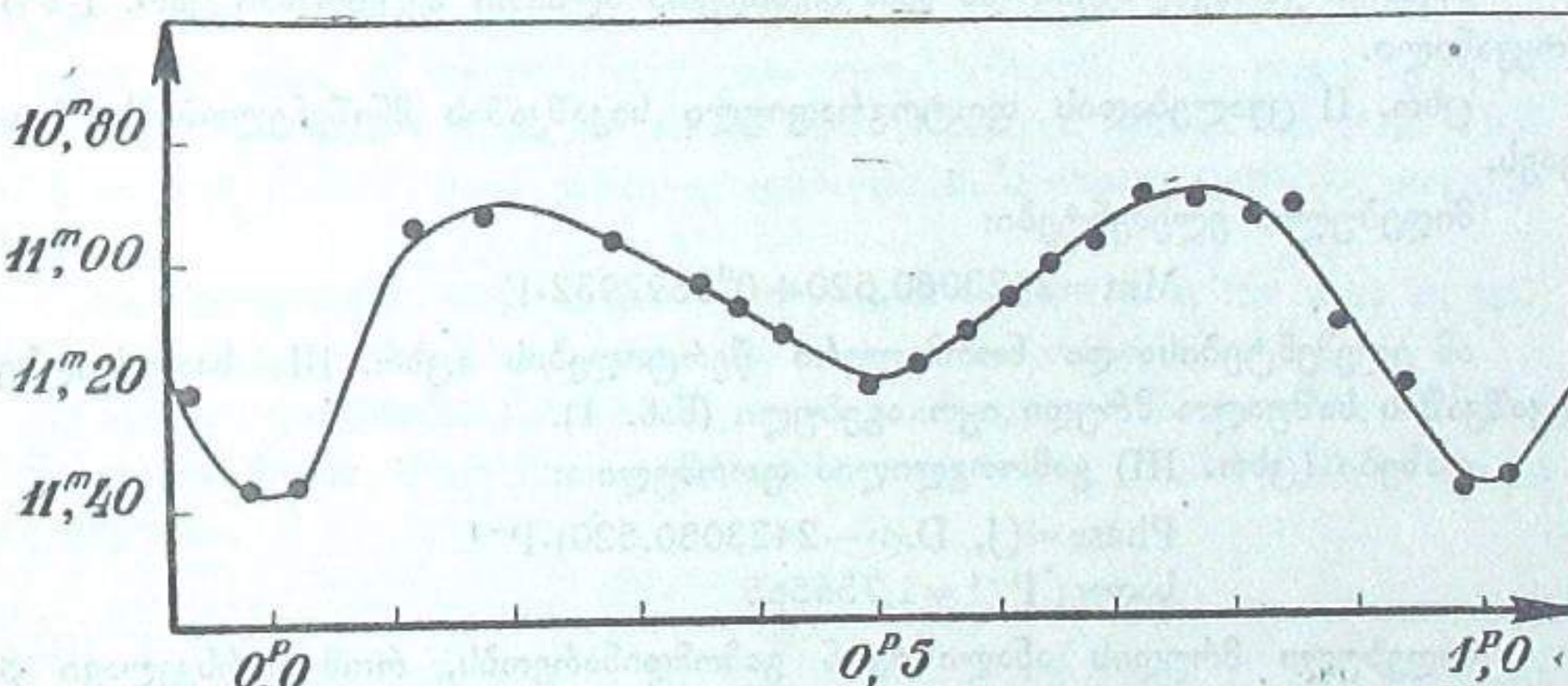


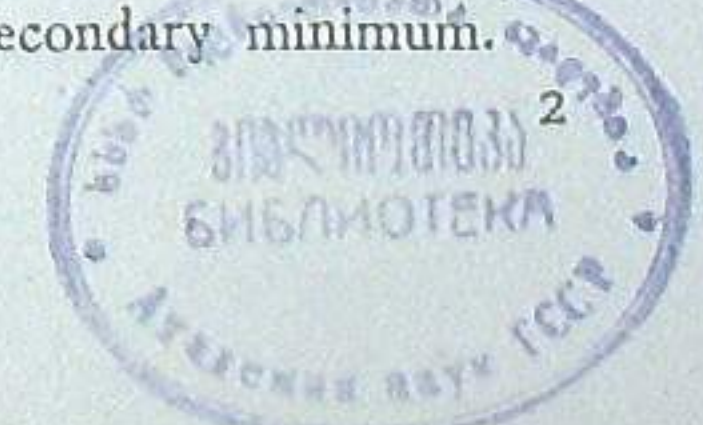
Fig. I бб.

Examination of the curve obtained shows that the minima of brightness are disposed quite symmetrically. The maxima are equal amounting to  $10^m 91$  while the minima greatly differ.

This seems to indicate that the star is of the  $\beta$  Lyrae type.

Special interest attaches to the shape of the curve, i. e. a steep rise from the primary minimum and a slow fall to the secondary minimum.

აბასთუმნის ასტროფიზ. ობსერვ. ბიულ. № 1



The authors are indebted to V. V. Vikhrov and E. D. Mgaloblishvili for their assistance in securing the photographic material and taking part in the microphotometric measurements.

August, 1935.

Literature: ლიტერატურა:

1. M. N., vol. 91, p. 698, 1931.  
2. A. N., 294, p. 81, 1931.

3. M. N., vol. 91, p. 702, 1931.  
4. I. C. A. R., vol. 1, No. 1, 1933.

AP AURIGAE

ფოტოგრაფიული სიკაშვაშის მჩუდი და მლამინთაბი

3. იუნივერსიტეტი  
(რეზემე)

AP Aurigae-ს ფოტოგრაფიული დაკვირვებით 117 გამონასახი იყო მიღებული. ექსპოზიცია 15 ან 20 მინუტს გრძელდებოდა. ასეთი გრძელი ექსპოზიცია საჭირო შეიქნა იმის გამო, რომ Ilford Monarch-ის ფირფიტებს (1934 წლის სერია, ემულსია 6428 A), საგრძნობი ორტოქრომატული ეფექტი აღმოაჩნდათ და ამ ეფექტის მოსაპონად პეტიალურ ფილტრს ვემართდით.

სადარი ვარსკვლავები და მათ სიღრდეთა ალბათი შეცდომანი ცხრ. I-შია მოყვანილი.

ცხრ. II ცვალებადის ფოტოგრაფიული სიკაშვაშის მნიშვნელობებს შეიცვალა.

მიღებულია ელემენტები:

$$\text{Min} = 2423080.520 + 0^d 5692932 \cdot E$$

ამ ელემენტებისა და ნორმალური წერტილების (ცხრ. III) საფუძველზე სიკაშვაშის საშუალო მრუდი იყო აგებული (ნახ. 1).

ფაზები (ცხრ. III) გამოთვლილია ფორმულით:

$$\text{Phase} = (J. D. \odot - 2423080.520) \cdot P^{-1}$$

$$\text{სადაც } P^{-1} = 1.756565$$

მიღებული მრუდის ანალიზიდან გამომდინარეობს, რომ ვარსკვლავი  $\beta$  Lyrae-ს ტიპის ჯგუფს ეკუთვნის.

აგვისტო, 1935.

აბასტუმანის ასტროფიზიკური მასებისათვის გიული ბიულეტენი 1937 წელი  
БЮЛЛЕТЕНЬ АБАСТУМАНСКОЙ АСТРОФИЗИЧЕСКОЙ ОБСЕРВАТОРИИ № 1. 1937  
BULLETIN OF THE ABASTUMANI ASTROPHYSICAL OBSERVATORY No. 1. 1937

OO AQUILAE  
PHOTOGRAPHIC LIGHT-CURVE AND ELEMENTS

V. M. BODOKIA

The variable star OO Aquilae (BD+8°4224, HD 187183), discovered by D. Hoffleit on Harvard plates<sup>1</sup>, received its designation in 1932<sup>2</sup>.

The star was observed visually by Martinov<sup>3</sup> and Florja<sup>4</sup>.

By means of visual observations Florja and Slonim determined the photometric orbit of the star<sup>5</sup>.

Photographic observations of OO Aquilae were conducted at the Abastumani Observatory from June 2 to August 29, 1935. In all 248 images (48 plates) were obtained, 244 of which were suitable for measurements.

The photographs were taken with 10 and 12 minute exposures on Ilford Monarch plates (emulsion 6428 A). To avoid the orthochromatic effect of those plates<sup>6</sup> a special light filter supplied by the State Optical Institute, Leningrad, was used.

For the sake of comparison 7 stars were selected, the magnitudes of which were determined with the aid of two plates on which the areas OO Aquilae and KSA37 were taken at equal zenith distances with 15 minute exposures.

The photographs were taken in the usual order, i. e. the area of the variable, the standard area and again the area of the variable.

The star magnitudes for KSA37 were made use of to draw the characteristic curves. From these the photographic magnitudes, as listed in Table I, were derived.

TABLE I ცხრილი

|              | $m$   | $m$         |
|--------------|-------|-------------|
| a) BD+9°4255 | 8.64  | $\pm 0.10$  |
| b) BD+9°4254 | 9.50  | $\pm 0.014$ |
| c) BD+9°4261 | 10.19 | $\pm 0.014$ |
| d) BD+8°4214 | 8.85  | $\pm 0.033$ |
| e) BD+9°4251 | 9.66  | $\pm 0.038$ |
| f) BD+9°4257 | 9.11  | $\pm 0.005$ |
| g) BD+9°4258 | 10.58 | $\pm 0.019$ |

Table II lists the photographic brightness of the variable.